

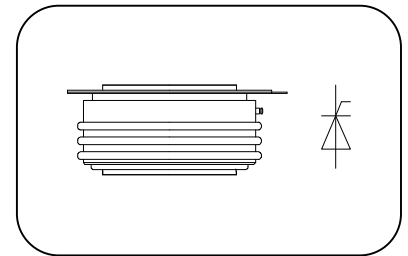
特点:

- n 中心放大门极结构
- n 平板型陶瓷管壳封装
- n 低通态和开关损耗

典型应用:

- n 大功率变流器
- n 交直流开关
- n 有源和无源逆变

$I_{T(AV)}$	1000 A
V_{DRM}/V_{RRM}	1100-1800V
I_{TSM}	13 KA
I^2t	845 10³A²S



符号	参数	测试条件	结温 $T_J(^{\circ}C)$	参数值			单位
				最小	典型	最大	
$I_{T(AV)}$	通态平均电流	180°正弦半波, 50Hz 双面散热, $T_{hs}=75^{\circ}C$	125			1000	A
$I_{T(AV)}$	通态平均电流	180°正弦半波, 50Hz 双面散热, $T_{hs}=55^{\circ}C$	125			1271	A
V_{DRM} V_{RRM}	断态重复峰值电压 反向重复峰值电压	V_{DRM} & V_{RRM} tp=10ms V_{DSM} & $V_{RSM} = V_{DRM}$ & $V_{RRM} + 100V$	125	1100		1800	V
I_{DRM} I_{RRM}	断态重复峰值电流 反向重复峰值电流	$V_{DM} = V_{DRM}$ $V_{RM} = V_{RRM}$	125			60	mA
I_{TSM}	通态不重复浪涌电流	10ms 底宽, 正弦半波,	125			13	KA
I^2t	浪涌电流平方时间积	$V_R = 0.6V_{RRM}$				845	A ² s*10 ³
V_{TO}	门槛电压		125			0.93	V
r_T	斜率电阻					0.29	mW
V_{TM}	通态峰值电压	$I_{TM} = 3000A, F = 21KN$	25			2.20	V
dv/dt	断态电压临界上升率	$V_{DM} = 0.67V_{DRM}$	125			300	V/ μ s
di/dt	通态电流临界上升率	$V_{DM} = 67\%V_{DRM}$ to 1000A, 门极脉冲 $t_r \leq 0.5\mu$ s $I_{GM} = 1.5A$ 重复值	125			150	A/ μ s
I_{rm}	反向恢复电流	$I_{TM} = 1000A, tp = 1000\mu$ s, $di/dt = -20A/\mu$ s, $V_r = 50V$	125			184	A
t_{rr}	反向恢复时间					17.2	μ s
Q_{rr}	恢复电荷					1581	μ C
I_{GT}	门极触发电流	$V_A = 12V, I_A = 1A$	25	40		300	mA
V_{GT}	门极触发电压			0.8		3.0	V
I_H	维持电流			20		250	mA
V_{GD}	门极不触发电压	$V_{DM} = 67\%V_{DRM}$	125	0.3			V
$R_{th(j-h)}$	热阻抗(结至散热器)	180°正弦波, 双面散热 压紧力 21KN				0.030	$^{\circ}C/W$
F_m	安装力			18		25	KN
T_{stg}	贮存温度			-40		140	$^{\circ}C$
W_t	质量					400	g
Outline	KT44cT						

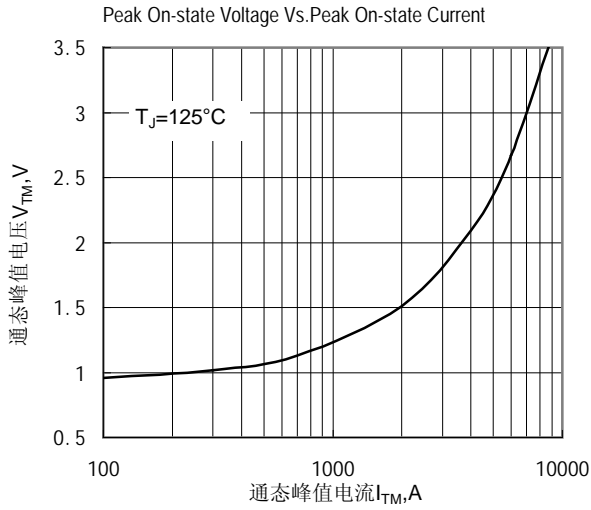


Fig.1 通态伏安特性曲线

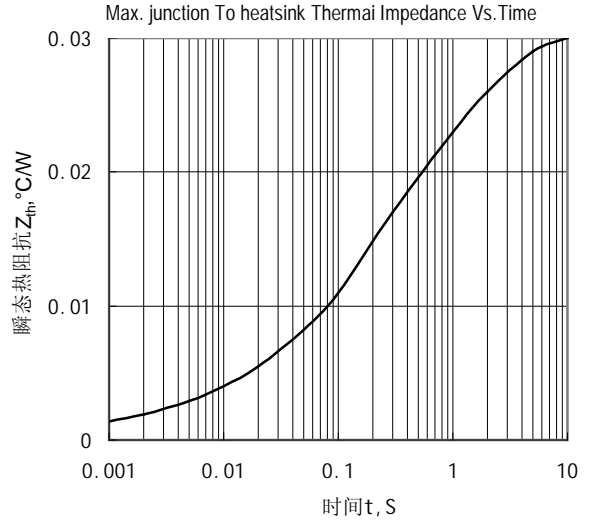


Fig.2 结至散热器瞬态热阻抗曲线

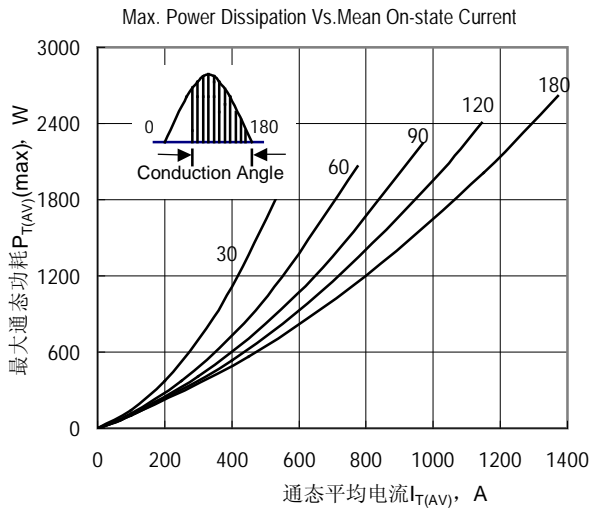


Fig.3 最大功耗与平均电流关系曲线

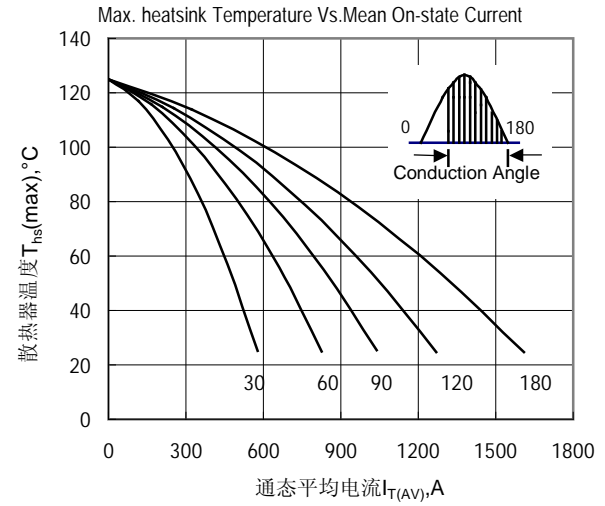


Fig.4 散热器温度与通态平均电流关系曲线

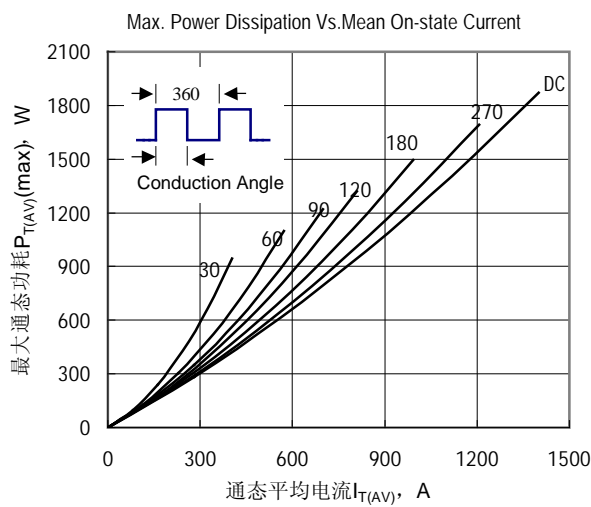


Fig.5 最大功耗与平均电流关系曲线

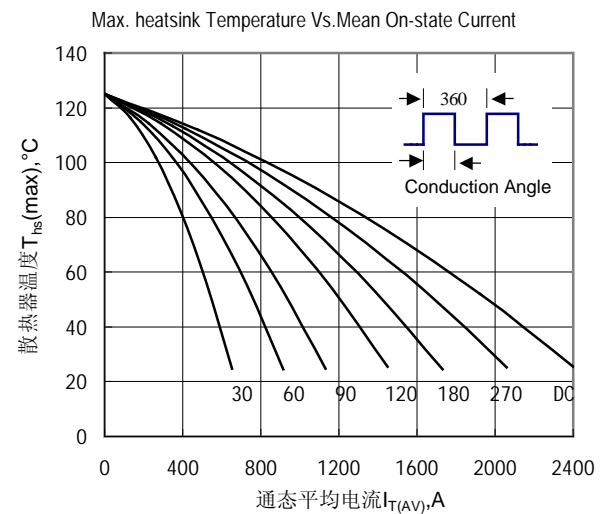


Fig.6 散热器温度与通态平均电流关系曲线

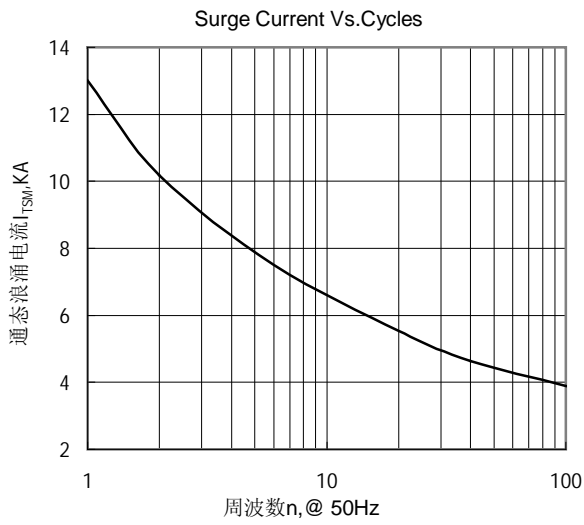


Fig.7 通态浪涌电流与周波数的关系曲线

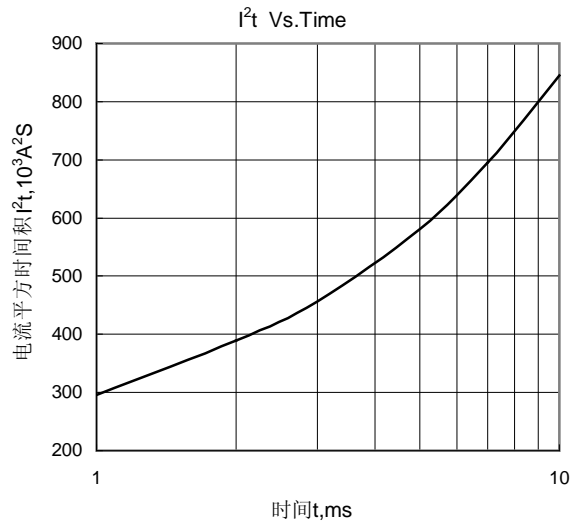


Fig.8 I^2t 特性曲线

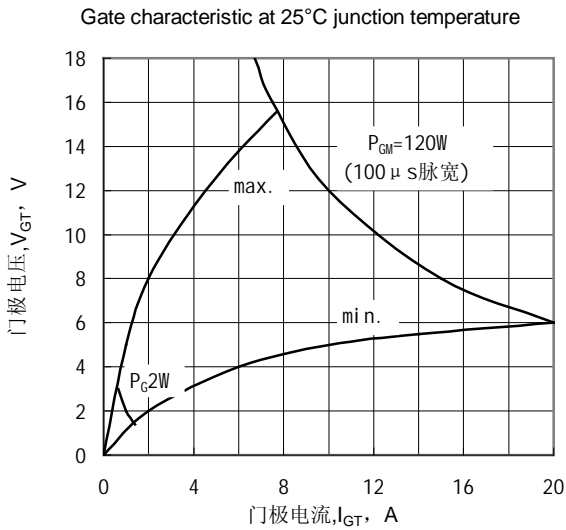


Fig.9 门极功率曲线

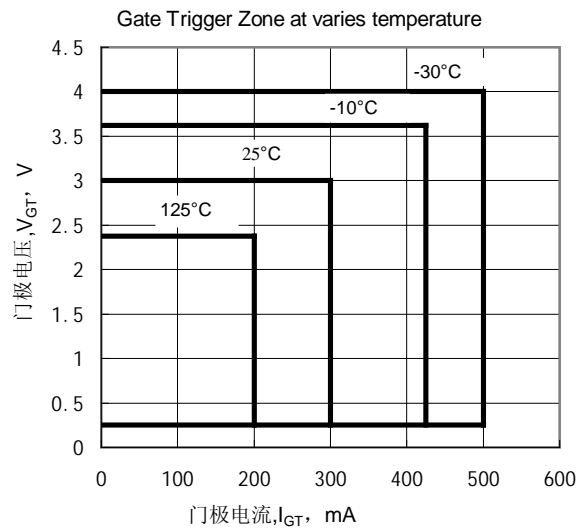


Fig.10 门极触发特性曲线

外形图:

